

(669) 振りをうける円周切欠つき丸棒の破壊強度

株神戸製鋼所 構造研究所

木内晃
青木満

1 目的

振りをうける軸材の破壊強度評価法を明らかにするための一手段として、円周切欠きを有する丸棒(CNRB)を用いた振り試験を行ない、その破壊強度について検討した。なお、本試験では、モードⅢの変形様式のみが存在する。

2 試験方法

供試材は、 15.5^{ϕ} のJIS規格S48C ($\sigma_y = 54 \text{ kg/mm}^2$, $\sigma_B = 81 \text{ kg/mm}^2$) および 10^{ϕ} のSWRH 77B ($\sigma_{0.2} = 134 \text{ kg/mm}^2$, $\sigma_B = 154 \text{ kg/mm}^2$) および板厚30mmのアクリル樹脂(PMMA, $\sigma_B = 6.5 \text{ kg/mm}^2$)である。精密振り試験機を用いて、切欠深さ比($2c/D$, C:切欠深さ, D:直径)およびDを変化させたCNRB(切欠先端は0.1mm幅の機械切欠)の振り試験(負荷速度: 20deg./min)を室温下で行ない、破壊強度に及ぼす上記因子の影響を調べた。なお、PMMAの場合には、切欠からのき裂の発生を肉眼により観察した。

3 試験結果

PMMAと鋼材では破壊形態が異なり、巨視的にみて前者は直破断、後者は剪断破断であった。

3.1 PMMAの破壊——写真1に示すように、あるトルクで切欠先端からほぼ一様に切欠面とは異なる、六面を有する微小き裂が多数発生する。なお、 $2c/D > 0.2$ のものは、き裂の拡大に伴うトルクが低下し、その後不安定破壊を生じた。塑性変形を生じてからき裂が発生しているため、依田の式を用いてき裂発生時のJ値($J_{III,i}$)を求め、 $K_I = \sqrt{2G} J_{III}$ (G :横弾性係数)の関係式を介して $J_{III,i}$ を $K_{III,i}$ に変換した。つぎに、き裂発生時の切欠断面での公称剪断応力($T_{net,i}$)を平滑丸棒の場合と同様 $T_{net,i} = 16T_i / (\pi d^3)$ (T_i :き裂発生時のトルク, d :切欠断面の直径)なる関係式から求め、 $K_{III,i}/K_{IC}$ (K_{IC} :モードIでの破壊韌性値)と $T_{net,i}/\sigma_B$ (σ_B :引張強さ)の関係を図1に示す。

4.5 ≤ $K_{III,i}/K_{IC}$ ≤ 5.5であり、 $K_{III,i}$ は K_{IC} よりかなり大きい。ちなみに、混合モード下での破壊発生条件であるひずみエネルギー密度最小説やエネルギー解放率最大説では、 $K_{III,i}/K_{IC}$ はそれぞれ0.53および0.80 ($\nu = 0.36$ として計算)となる。いっぽう、 $T_{net,i}/\sigma_B$ は約1.2の一定値を示している。なお、Dの影響については当日報告する。

3.2 S48CおよびSWRH77Bの破壊——まず、 $2c/D = 0.5$ のCNRBを用いて、モードIでの破壊試験を室温下で行なった。SWRH77Bは100%脆性破面を示したのに対し、S48Cでは安定延性き裂発生後の脆性破壊であった。また、最大トルク時の切欠断面での公称剪断応力($T_{net,m} = 12 \cdot T_m / (\pi d^3)$, T_m :最大トルク)は、 $2c/D$ および鋼種によらず平滑丸棒から求めた振り強さ($T_b = 12 \cdot T_m / (\pi D^3)$)とよく一致した。

参考文献 1) 依田滿夫:日本材料强度学会誌 Vol.14 No.1 (1979)

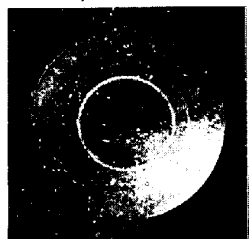
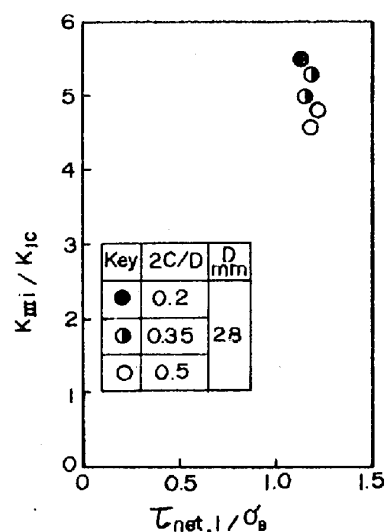


写真1 切欠からのき裂の発生

図1 $K_{III,i}/K_{IC}$ と $T_{net,i}/\sigma_B$ の関係